

## مقایسه وضعیت دندان‌های مولر فک بالا در کاربرد Cervical Headgear و دستگاه (Finite Element) Pendulum

دکتر لادن اسلامیان<sup>\*</sup>، دکتر الهیار گرامی<sup>\*\*</sup>، دکتر کاظم دالایی<sup>\*\*\*</sup>

### چکیده

سابقه و هدف: رفتار بیومکانیکی مولرهای اول و دوم فک بالا، در مطالعات مختلف بالینی توسط هدگیر مورد بررسی قرار گرفته ولی در بعضی از ابعاد فضائی تناظرها بی و وجود دارد. هدف از این مطالعه مقایسه وضعیت دندان‌های مولر اول و دوم فک بالا در کاربرد *Cervical Headgear (HG)* و *Pendulum (PEND)* استگاه پندولوم از طریق *Finite Element Method (FEM)* بود.

مواد و روشها: جهت مدل‌سازی رایانه‌ای از یکی از کامپیوترین جمجمه‌های خشک، *C.T. Scan* با فواصل ۱ میلی‌متر از ناحیه *Dentition* فک بالا تا ۲ میلی‌متر آپیکالی تر از آپیکس دندان‌های فک بالا تهیه شد که توسط دستگاه *Scanner* به رایانه منتقل و روند مدل‌سازی استخوان‌ها *PDM* و دندان انجام گردید. بعد از مدل‌سازی هندسی و تعریف خواص مکانیکی، المان‌بندی و مش‌بندی و بارگذاری نیروی هدگیر سرویکال به میزان ۲۵۰ گرم در امتداد ۲۰ درجه بالای پلن اکلوزال در تیوب هدگیر و موازی سطح اکلوزال مولر اول تعریف و نیروی پندولوم به همان میزان در امتداد *Lingual sheath* بند مولر اول تعریف شد. حرکات ارتودنسیک دندانها توسط نرم‌افزار *Ansys* بررسی و آنالیز شد.

یافته‌ها: میزان جابجایی نوک کاسپ‌های مولر اول در حضور مولر دوم در بعد باکولینگکوال در *HG* و *PEND* نشان‌دهنده چرخش *Distal in* در هدگیر و چرخش *Mesial in* در پندولوم در مولر اول بالا به میزان بسیار کم بود. میزان جابجایی در بعد مزیودیستالی در *HG* نشان‌دهنده حرکت ۴ کاسپ به سمت دیستال و در *PEND* نشان‌دهنده حرکت بیشتر کاسپ‌های پالاتالی بود. میزان جابجایی در بعد عمودی در *HG* نشان‌دهنده حرکات اکستروزیو در هدگیر و ایتروروژن در کاسپ‌های دیستالی در پندولوم بود. نتیجه‌گیری: در هر دو دستگاه حضور مولر دوم بر کیفیت حرکت مولر اول اثر داشت و در هردو به صورت دیستالی و اکستروژن و *Buccal drift* حرکت کرد. با توجه به عدم نیاز به همکاری بیمار در دستگاه پندولوم و مشابهت نسبی دو دستگاه در حرکت دیستالی مولر اول، استفاده از پندولوم به جای هدگیر سرویکال توصیه می‌شود.

کلید واژگان: هدگیر سرویکال، دستگاه پندولوم، مولر دوم بالا

تاریخ دریافت مقاله: ۱۳۸۷/۲/۱۵

تاریخ تأیید مقاله: ۱۳۸۷/۲/۴

تاریخ اصلاح نهایی: ۱۳۸۶/۸/۵

روشهای سنتی جهت دیستالیزه کردن شامل: extra oral removable distalizing arches alson distaliing traction anterior maxillary elastics with sliding jigs appliances نیازمند همکاری بیمار می‌باشد.<sup>(۲)</sup>

اثرات *Cervical headgear* بر روی کمپاکس کرانیوفاشیال در مطالعات مختلف مورد بررسی واقع شده است.<sup>(۳، ۴)</sup> حرکات دیستالی مولر اول به صورت Bodily توسط تنظیم

در درمان‌های ارتودنسی معاصر موارد کشیدن دندانها رو به کاهش است.<sup>(۱)</sup> معرفی دستگاه‌های جدید که به همکاری بیمار نیاز ندارند نیاز به کشیدن دندانها را با تامین فضای لازم برای کاهش overjet و crowding کاهش داده‌اند. یکی از هدفهای مشترک در درمان ناهمجاريهای CL II دندانی، دیستاله کردن مولر اول فک بالا می‌باشد که اغلب یکی از چالشهای مهم فرا روی درمان‌های ارتودنسی می‌باشد.

### مقدمه

\* دانشیار گروه ارتودنسی، دانشکده دندانپزشکی و مرکز تحقیقات دندانپزشکی، دانشگاه علوم پزشکی شهید بهشتی.

\*\* نویسنده مسئول: دانشیار گروه ارتودنسی، دانشکده دندانپزشکی، دانشگاه علوم پزشکی تهران.

\*\*\* استادیار گروه ارتودنسی، دانشکده دندانپزشکی، دانشگاه علوم پزشکی زاهدان.

هدف اصلی این مطالعه تعیین حرکات دندانی مولر اول توسط دستگاه Cervical headgear و Pendulum به صورت جدایگانه و مقایسه‌ای و با در نظر گرفتن حضور و یا فقدان مولر دوم می‌باشد.

### مواد و روشها

ابتدا به دلیل اینکه مدلسازی رایانه‌ای باید براساس الگوی کاملی از جمجمه انسان صورت بگیرد، یکی از کامل‌ترین جمجمه‌های خشک موجود در دپارتمان آناتومی دانشکده پزشکی شهید بهشتی (با دندان‌های کامل فک بالا و پایین) جهت بهره‌برداری در این تحقیق تهیه شد. به منظور فرایند مدلسازی از این جمجمه تصاویر C.T Scan با فواصل ۱ میلی‌متر از ناحیه دندانهای فک بالا و زواید آلتوئلی فک بالا تا ۲ میلی‌متر آپیکالی از آپیکس دندانهای فک بالا با مقاطع کرونالی توسط دستگاه spiral single slice Hitachi مدل (ژاپن - توکیو) تهیه گردید. تصاویر که با نسبت‌های یک به یک با مدل جمجمه خشک تهیه شده بودند در ناحیه مولرها ترسیم شده و بعد به نرم‌افزار Autocad منتقل شدند. محل دقیق نقاط کلیدی مشخص شد و به نرم‌افزار Practico (Ver 5.71 Ansys Inc. Cononsburg PA USA) ۱۵۱۳۷ متنقل و آنالیزهای لازم انجام شد. حجم‌ها براساس نقاط کلیدی یک به یک تعریف شدند. ۴ مدل سه بعدی براساس حضور یا عدم حضور مولر دوم و اعمال نیرو توسط پندولوم یا هدگیر سرویکال طراحی شد. هر مدل شامل اجزای دندان‌ها، لیگامان پریودنتال، استخوان اسفنجی و استخوان کورتیکال بود. ویژگی‌های مکانیکی اجزایی که مدل شدند در جدول ۱ آمده است(۲۴). تعداد node‌های مدل به ۳۶۱۳۳ عدد و تعداد المانها به ۱۴۰۶۰ عدد رسید. سیستم نیرویی توسط هدگیر سرویکال با کمان خارجی ۲۰ درجه بالای خط اکلوزال و بررسی پندولوم در امتداد lingual sheath محاسبه شد و در مدل ساخته شده، اعمال شد. مقدار نیرو برای هر دو دستگاه جهت اعمال به دندان منظور ۲۵۰ گرم بود. محل اعمال نیرو از امتداد ۲۰ درجه بالای پلن اکلوزال در تیوب هدگیر و موازی سطح اکلوزال مولر اول سطح باکال برای هدگیر و در سطح پالاتال و وسط قسمت اکلوزوژنژیوالی برای پندولوم در نظر گرفته شد. فنر

بردار نیرو امکان‌پذیر است، به طوری که امتداد نیرو از میان مرکز مقاومت (Center of Resistance) این دندان‌ها عبور کند. ترکیبی از طول مناسب outer bow و زاویه آن (angulation) برای برقراری این بردار مناسب نیرویی باید مورد ملاحظه قرار گیرد. در یکی از مطالعات مقدار این زاویه را برای outer bow ۲۰ درجه زاویه به سمت بالا پیشنهاد می‌کند(۵,۶).

در سال‌های اخیر modality‌های متعددی جهت حرکت دیستالی مولر معرفی شده‌اند که نیازی به همکاری بیمار repelling pendulum appliance، distal jet，jones jig，magnets pendulum Nitinol coil spring، k-loop pendulum Hilgers در سال ۱۹۹۲ معرفی شد که توسط خودش و محققین دیگر دچار تغییراتی در طراحی شد(۷,۸).

کاربردهای کلینیکی توسط طراحی‌های مختلف موفق بوده است. طبق نظرات Byloff و Darandeliler (۱۰,۱۱)، Kinzinger (۱۴) و McNamara (۱۳) و Gosh (۱۲) اطلاعات کمی از کیفیت حرکت مولر اول توسط پندولوم در حضور مولر دوم وجود دارد. اثرات دندانی و اسکلتالی دستگاه پندولوم در مطالعات مختلف بررسی شده است (۱۰,۱۱,۱۴)، اما مقایسه هدگیر و پندولوم در مطالعات بسیار کم انجام شده است. به علاوه تناقض‌هایی در کیفیت حرکت مولر اول توسط پندولوم در مطالعات موجود است. روش المان محدود یک روش محاسباتی برای یافتن پاسخ‌های صحیح به پرسش‌های مختلف بود که کمتر از نیم قرن پیش در صنعت هوا - فضا ظهرور کرد و بلاfaciale به علم بیولوژی هم راه یافت.

این روش توانایی خود را در مقیاسهای مختلف ثابت کرده است. این دامنه شامل اثبات points basic تا ارزیابی theoretic situation است. همچنین از این روش در بررسی‌های حرکات دندانی (۱۶-۱۹) و شرایطی مانند حرکات دندانی در تحلیل استخوانی آلوئول (۲۰-۲۲) و کاربرد نیروهای خارج دهانی در ارتودنسی (۲۳) و بهینه‌سازی مکانوتراپی در ارتودنسی (۲۴) استفاده شده است.

حرکت دیستالی و علامت - نشان دهنده حرکت مزیالی است). میزان جابجایی در نوک کاسپ‌های MB, DB, MB و MP به ترتیب  $+0/702$ ,  $+0/692$ ,  $+0/392$  و  $+0/362$  بود که نشان دهنده حرکت ۴ کاسپ به سمت دیستال است. حرکت دیستالی در کاسپ‌های باکالی حدود ۲ برابر کاسپ‌های پالاتالی است.

۴- میزان جابجایی و چگونگی حرکت مولر اول در بعد Mesio - distal در پندولوم: (علامت + نشان دهنده حرکت دیستالی و علامت - نشان دهنده حرکت مزیالی است).

میزان جابجایی در نوک کاسپ‌های DP, DB, MB و MP به ترتیب  $-0/468$ ,  $-0/714$ ,  $-0/28$  و  $+0/789$  بود که نشان دهنده حرکت قابل توجه دیستالی در کاسپ‌های پالاتالی است.

۵- میزان جابجایی و چگونگی حرکت مولر اول در بعد عمودی در هدگیر سرویکال: (علامت + نشان دهنده اینتروژن و علامت - نشان دهنده اکستروژن است).

میزان جابجایی در نوک کاسپ‌های DP, DB, MB و MP به ترتیب عبارت بود از:  $-0/466$ ,  $-0/009$ ,  $-0/277$  و  $+0/124$  که نشان دهنده حرکات اکستروژیو در کاسپ‌های MP, DB, MB است.

۶- میزان جابجایی و چگونگی حرکت مولر اول در بعد عمودی در پندولوم: (علامت + نشان دهنده حرکت باکالی و علامت - نشان دهنده حرکت پالاتالی است).

میزان جابجایی در نوک کاسپ‌های DP, DB, MB و MP به ترتیب عبارت بود از:  $-0/256$ ,  $-0/182$ ,  $-0/280$  و  $+0/137$  که نشان دهنده اینتروژن در کاسپ‌های دیستالی و اکستروژن در کاسپ‌های پالاتالی است.

(B) میزان جابجایی و چگونگی حرکت ایجاد شده در مولر اول فک بالا با حضور مولر دوم فک بالا (جدول ۳).

۱- میزان جابجایی و چگونگی حرکت مولر اول در بعد Bucco-lingual در هدگیر سرویکال: (علامت + نشان دهنده حرکت باکالی و علامت - نشان دهنده حرکت پالاتالی است).

میزان جابجایی در نوک کاسپ‌های DP, DB, MB و MP به ترتیب  $-0/044$ ,  $-0/725$ ,  $-0/709$  و  $-0/130$  بود که نشان دهنده چرخش distal-in در مولرهای اول و کمی حرکت پالاتالی در کاسپ MP می‌باشد (شکل ۱A).

پندولوم به صورت غیرفعال موازی خط میانی کام در نظر گرفته شد به طوری که ۲۰ میلی‌متر فاصله تا سطح پالاتال هر کدام از مولرهای اول داشته باشد. المان‌های تماسی بین مولر اول و دوم در هر کدام از مدل‌ها تعریف شد. مولر دوم ۱/۵ میلی‌متر اپیکالی‌تر از مولر اول در نظر گرفته شد.

جدول ۱- ویژگی‌های مکانیکی اجزای مدل بازسازی شده در رایانه

جزای مدل	ضریب الاستیسیته	ضریب پواسون
استخوان کورتیکال	۳۴۰۰%	۲۶%
استخوان اسفنجی	۱۳۷۰%	۳۸%
PDM	٪ ۶۶۷	٪ ۴۹
دندان	۲۰۳۰%	٪ ۳

#### یافته‌ها

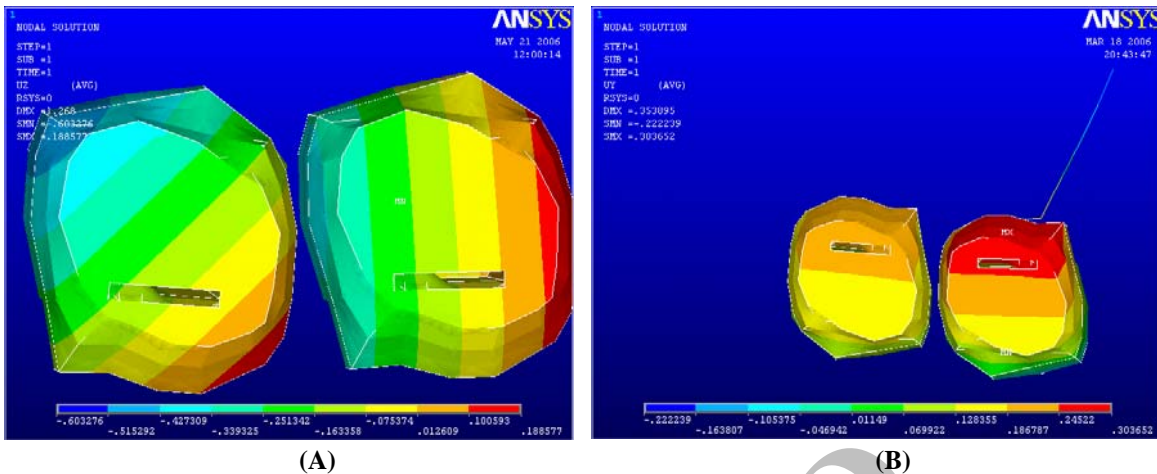
(A) میزان جابجایی و چگونگی حرکت ایجاد شده در مولر اول فک بالا بدون حضور مولر دوم فک بالا (جدول ۲).

۱- میزان جابجایی و چگونگی حرکت مولر اول در بعد Bucco-lingual در هدگیر سرویکال: (علامت + نشان دهنده حرکت باکالی و علامت - نشان دهنده حرکت پالاتالی است). میزان جابجایی در نوک کاسپ‌های مزیوباکال (MB), دیستوباکال (DB), دیستوپالاتال (DP) و مزیوپالاتال (MP) به ترتیب عبارت بود از:  $-0/262$ ,  $-0/246$ ,  $+0/502$  و  $-0/134$  که نشان دهنده چرخش distal-in در مولرهای اول است که اکثریت چرخش در کاسپ‌های دیستالی رخ داده است.

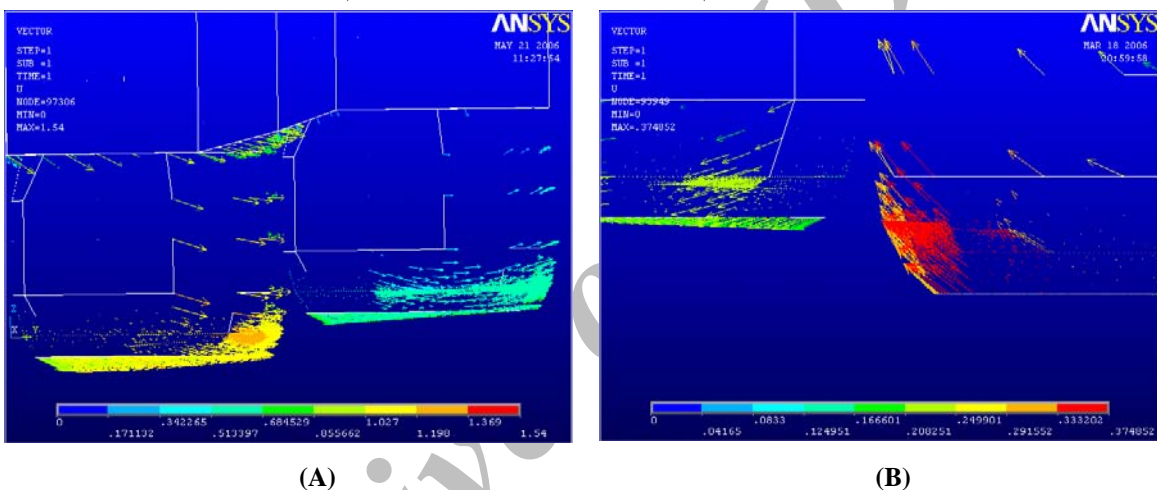
۲- میزان جابجایی و چگونگی حرکت مولر اول در بعد Bucco-lingual در پندولوم: (علامت + نشان دهنده حرکت باکالی و علامت - نشان دهنده حرکت پالاتالی است).

میزان جابجایی در نوک کاسپ‌های MB, DB, MB و MP به ترتیب عبارت بود از:  $-0/431$ ,  $-0/314$ ,  $+0/314$  و  $-0/338$  که نشان دهنده چرخش mesial-in در مولرهای اول فک بالا می‌باشد. میزان حرکت کاسپ‌های مختلف تقریباً یکسان بوده است.

۳- میزان جابجایی و چگونگی حرکت مولر اول در بعد Mesio-distal در هدگیر سرویکال: (علامت + نشان دهنده



شکل ۱ - میزان جابجایی مولر اول و دوم در بعد Bucco-Lingual (A) و هدگیر سرویکال (B)



شکل ۲ - میزان جابجایی مولر اول و دوم در بعد Mesio - distal (A) و هدگیر سرویکال (B)

دیستالی در کاسپ‌های باکالی بسیار بیشتر از کاسپ‌های پالاتالی بود (شکل A).

۴- میزان جابجایی و چگونگی حرکت مولر اول در بعد Mesio-distal در پندولوم: (علامت + نشان دهنده حرکت دیستالی و علامت - نشان دهنده حرکت مزیالی است).

میزان جابجایی در نوک کاسپ‌های DP, DB, MB به ترتیب عبارت بود از: ۰/۰۵۶، ۰/۰۶، ۰/۲۳۱ و ۰/۰۷۷ که نشان دهنده حرکت دیستالی ۴ کاسپ با میزان بیشتر در کاسپ‌های پالاتالی می‌باشد. میزان حرکت دیستالی کاسپ‌های پالاتالی کمتر از حرکت کاسپ‌های پالاتالی مولر اول بدون حضور مولر دوم بود (شکل B).

۵- میزان جابجایی و چگونگی حرکت مولر اول در بعد عمودی در هدگیر سرویکال: (علامت + نشان دهنده اینتروژن

-۲- میزان جابجایی و چگونگی حرکت مولر اول در بعد Bucco-lingual در پندولوم: (علامت + نشان دهنده حرکت باکالی و علامت - نشان دهنده حرکت پالاتالی است).

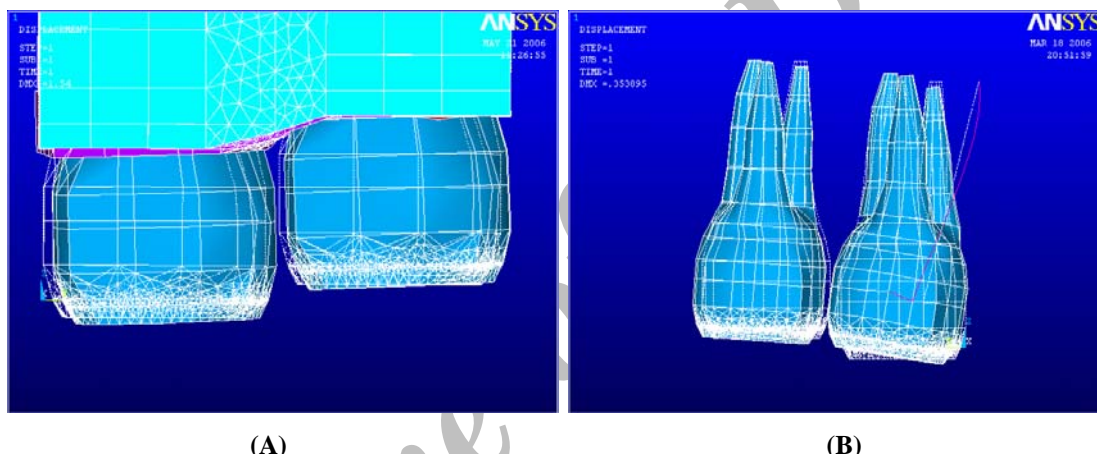
میزان جابجایی در نوک کاسپ‌های MP و DP, DB, MB به ترتیب ۰/۰۹۷، ۰/۰۷۶، ۰/۰۸۳ و ۰/۰۷۲ بود که نشان دهنده چرخش mesial-in در مولرهای بالا به میزان بسیار کم می‌باشد. (شکل B).

۳- میزان جابجایی و چگونگی حرکت مولر اول در بعد Mesio-distal در هدگیر سرویکال: (علامت + نشان دهنده حرکت دیستالی و علامت - نشان دهنده حرکت مزیالی است).

میزان جابجایی در نوک کاسپ‌های MP, DB, MB و DP به ترتیب عبارت بود از: ۰/۰۹۲، ۰/۰۹۱۲، ۰/۰۲۱ و ۰/۰۱۶۳ که نشان دهنده حرکت ۴ کاسپ به سمت دیستال است. حرکت

ترتیب عبارت بود از: -۰/۱۲۳، -۰/۱۴۸، -۰/۲۲۴ و -۰/۰۳ که نشان‌دهنده اینتروژن در کاسپ‌های دیستالی و اکستروژن در کاسپ‌های مزیالی می‌باشد. (شکل B).  
میزان جابجایی و چگونگی حرکت ایجاد شده در مولر دوم فک بالا در ابعاد Bucco-lingual و مزیو-دیستال و عمودی در دو دستگاه در جدول ۴ نشان داده شده است. کاسپ‌های مزیالی به میزان بسیار کم اینتروژن و کاسپ‌های مزیوباكال اکستروژن نشان داد.

و علامت - نشان دهنده اکستروژن است). میزان جابجایی در نوک کاسپ‌های MP، DB، MB به ترتیب -۰/۴۹۴، -۰/۱۶۰ و -۰/۱۱۸ بود که نشان دهنده حرکات اکستروژیو در کاسپ‌های MP، DB، MB می‌باشد (شکل A).  
۶- میزان جابجایی و چگونگی حرکت مولر اول در بعد عمودی در پندولوم: (علامت + نشان‌دهنده اینتروژن و علامت - نشان دهنده اکستروژن است).  
میزان جابجایی در نوک کاسپ‌های MP، DB، MB به



شکل ۳ - میزان جابجایی مولر اول و مولر دوم در بعد عمودی در پندولوم (B) و هدگیر سرویکال (A)

جدول ۲ - میزان جابجایی نوک کاسپ‌های مولر اول در \*Pendulum appliance\*\* و Headgear\* در غیاب مولر دوم فک بالا

	HG*				PEND**			
	MP	DP	DB	MB	MP	DP	DB	MB
Bucco -Lingual	-۰/۰۱۳	-۰/۲۶۲	-۰/۲۴۶	-۰/۰۵	-۰/۳۳۸	-۰/۳۵	-۰/۳۱۴	-۰/۴۲۱
Mesio – Distal	-۰/۳۶۲	-۰/۳۹۲	-۰/۶۹۲	-۰/۷۰۲	-۰/۷۸۹	-۰/۷۱۴	-۰/۰۲۸	-۰/۰۴۶۸
Vertical	-۰/۲۷۷	-۰/۱۲۴	-۰/۰۰۹	-۰/۴۶۶	-۰/۱۳۷	-۰/۲۸۰	-۰/۱۸۲	-۰/۲۵۶

جدول ۳ - میزان جابجایی نوک کاسپ‌های مولر اول در \*Pendulum appliance\*\* و Headgear\* در حضور مولر دوم فک بالا

	HG*				PEND**			
	MP	DP	DB	MB	MP	DP	DB	MB
Bucco -Lingual	-۰/۱۲۰	-۰/۰۷۵۹	-۰/۰۷۲۵	-۰/۴۲۸	-۰/۰۷۲۲	-۰/۰۸۲۳	-۰/۰۷۶۶	-۰/۰۹۶۹
Mesio – Distal	-۰/۱۶۳	-۰/۲۲۱	-۰/۹۱۲	-۰/۹۳۲	-۰/۲۴۷	-۰/۰۲۳۱	-۰/۰۶۰۴	-۰/۰۰۵۹
Vertical	-۰/۱۱۹	-۰/۱۴۸	-۰/۱۶	-۰/۴۹۴	-۰/۰۳۰۹	-۰/۲۳۹	-۰/۱۴۸	-۰/۰۲۳۶

جدول ۴ - میزان جابجایی نوک کاسپهای مولر دوم در\* Headgear\*\* و Pendulum appliance\*\*

	HG*				PEND**			
	MP	DP	DB	MB	MP	DP	DB	MB
Bucco -Lingual	.۰/۴۲۰	.۰/۲۵۳	.۰/۲۴۱	.۰/۰۱۴	.۰/۱۴۴	.۰/۱۶۴	.۰/۱۵۲	.۰/۱۹۲
Mesio – Distal	.۰/۱۰۸	.۰/۱۵۴	.۰/۶۰۸	.۰/۶۲۰	.۰/۱۶۴	.۰/۱۵۴	.۰/۰۴۰	.۰/۰۳۶
Vertical	.۰/۱۷۷	.۰/۲۲۰	.۰/۲۴۰	.۰/۷۴۱	– .۰/۰۲۰	.۰/۱۵۹	.۰/۰۹۸	– .۰/۰۸۲

## بحث

در غیاب مولر دوم بود. البته عکس آن در استفاده از هدگیر سرویکال صادق بود. در تایید مطالعه (Kinzinger ۱۲) چرخش مولرهای دوم در دو دستگاه کمتر از چرخش مولرهای اول بود. الگوی کلی حرکت مولر دوم Kinzinger mesio-buccal rotation بود که این نیز با نتایج (۱۲) موافق بود. او پیشنهاد کرد که عامل احتمالی این پدیده احتمالاً مورفولوژی مولرهای اول و دوم و محل contact point آنها و موقعیت نسبی مولرها نسبت به یکدیگر می‌باشد.

(B) بعد مزیودیستال

مطالعات بر روی انواع مختلف پندولوم نتایج متضادی را در مورد کیفیت حرکات مولرها نشان می‌دهند (۱۲). پیرامون تاثیر مولر دوم بر دیستالیزه شدن مولرهای اول نیز تناقض‌هایی در literature وجود دارد (۱۵). بدون توجه به چرخش کاسپها که در حین حرکت دیستالی مولرها رخ می‌دهد، مقدار حرکت دیستالی کاسپهای باکال در هدگیر سرویکال تقریباً مساوی مقدار حرکت دیستالی کاسپهای پالاتال در پندولوم می‌باشد که مطالعه کلینیکی Tulin (۵) را تایید می‌کند که نشان می‌دهد هر دو دستگاه در دیستالیزه کردن مولرها به یک اندازه عمل می‌کنند.

حرکت دیستالی مولر اول در استفاده از هدگیر سرویکال نسبت به پندولوم به حرکت bodily نزدیکتر بوده است. بنظر میرسد با توجه به تنظیم امتداد نیرو در هدگیر سرویکال (۲۰) درجه بالای پلن اکلوزال) این نوع حرکت در هدگیر سرویکال دور از انتظار نبوده است که این نیز در توافق با مطالعه Tulin (۵) قرار دارد.

حضور مولر دوم در پندولوم باعث شد که کاسپهای پالاتالی حرکت دیستالی کمتری را انجام دهند. اما عکس این مسئله

حرکت دیستالی دندان مولر توسط پندولوم و هدگیر سرویکال توسط روش المان محدود ارزیابی و بررسی شد. بررسی پیرامون آن را می‌توان براساس نتایج به دست آمده می‌تواند در ۳ بعد فضایی انجام داد:

(A) بعد باکولینگوال

نتایج بدست آمده در این بعد در موافقت با بقیه مطالعات بود (۱۴، ۱۰، ۱۳، ۲۰).

برای پیشگیری از حرکات پالاتالی دراستفاده از پندولوم، Hilgers (۹) پیشنهاد کرد که expansion screw در تکمه آکریلی تبعیه شود و یا در فنر TMA پندولوم یک لوب تنظیم کننده ساخته شود تا مولر اول را به سمت باکال هدایت کند. Kinzinger (۱۲) پندولوم را به این صورت تغییر داد که در فنر پندولوم toe in bend ایجاد کرد تا یک نیرو در جهت باکال و یک گشتاور mesial – out rotating ایجاد شود. نتیجه این بود که در بعد عرضی از حرکات ناخواسته پالاتالی مولر اول پیشگیری به عمل آمد. تفاوت بین مقدار گشتاور خنثی کننده پیشنهادی Kinzinger (۳۰.۶ gr.mm) و مقدار گشتاور خنثی کننده در این مطالعه (۱۱۵.۰ gr.mm) قابل ملاحظه بود محاسبه گشتاور مورد نظر در مطالعه kinzinger با مشاهدات کلینیکی بدست آمده است در صورتیکه از این مطالعه گشتاور بصورت دقیقاً ریاضی محاسبه شده است. تاثیر حضور مولر دوم بر کیفیت مولر اول در استفاده از پندولوم و هدگیر سرویکال مورد تأکید قرار گرفت که در این خصوص نتایج این مطالعه در مطابقت با بعضی مطالعات گشته (۸، ۱۲، ۱۵) و در مخالفت با مطالعه Ghosh و Darendeliler (۱۰، ۱۱) و Byloff (۱۴) بود. براساس این مطالعه میزان چرخش مولر اول در حضور مولر دوم در پندولوم کمتر از چرخش مولر اول

پندولوم، فاصله فنر پندولوم تا مولر اول بدلیل آناتومی متنوع کام، تداخلات بعد مزیوپالاتال و باکولینگوال با بعد عمودی و نقاط مرجع متفاوتی که برای ارزیابی حرکات مختلف در نظر گرفته می‌شوند. اینها عوامل مداخله‌گری هستند که محقق ممکن است توانایی در نظر گرفتن همه آنها را نداشته باشد و در نتیجه نتواند علت بعضی متفاوت‌های مطالعه کلینیکی با مطالعه به روش المان محدود را توضیح دهد.

### نتیجه‌گیری

۱- الگوی کلی حرکت مولر دوم با استفاده از هدگیر سرویکال، حرکت دیستالی Tipping به همراه چرخش Mesial out و اکستروژن است ولی دستگاه پندولوم سبب حرکت دیستالی Tipping به همراه چرخش Mesial out و Vestibular drift و اکستروژن می‌شود.

۲- در بعد باکولینگوال میزان چرخش مولر اول در حضور مولر دوم با استفاده از دستگاه پندولوم کمتر از چرخش مولر اول در غیاب مولر دوم است. ولی در هدگیر سرویکال چرخش مولر اول در حضور مولر دوم بیشتر از چرخش مولر اول در غیاب مولر دوم می‌باشد.

۳- در بعد مزیوپالاتالی حضور مولر دوم در پندولوم باعث شده است که میزان حرکت دیستالی کاسپهای پالاتالی مولر اول کمتر از حرکت کاسپهای پالاتالی مولر اول در غیاب مولر دوم باشد ولی حضور مولر دوم در هدگیر سرویکال باعث شده است که جابجایی کاسپهای باکال مولر اول بطرف دیستال بیشتر از زمانی باشد که مولر دوم حضور ندارد که احتمالاً بخاطر چرخش بیشتر مولر اول در این حالت می‌باشد.

۴- در بعد عمودی حضور مولر دوم تغییری در اکستروژن کاسپهای مزیالی و اینتروژن کاسپهای دیستالی مولر اول در پندولوم و اکستروژن کاسپهای مزیوپالاتال و دیستوباكال و مزیوپالاتال در هدگیر سرویکال ایجاد نمی‌کند.

### References

1. Graber TM, Vanarsdall RL: Orthodontics, current principles and techniques. 4th Ed. St Louis, Elsevier 2000; Chap16:749.
2. Bussick TJ, McNamara: Dentoalveolar and skeletal changes associated with the pendulum appliance. Am J Orthod Dentofacial Orthop 2000;117:333-43.

در هدگیر سرویکال رخ داد که احتمالاً بخاطر چرخش بیشتر مولر اول است که در هنگام حضور مولر دوم دراستفاده از هدگیر سرویکال ایجاد می‌شود.

Kinzinger در مطالعه به روش المان محدود خود نتیجه گرفت که مولر دوم رویش یافته بر روی محور چرخش مولر اول به هیچ درجه‌ای تاثیر نمی‌گذارد، در صورتی که این مطالعه نشان داد که حضور مولر دوم باعث تغییر در محور چرخش مولر اول می‌شود علت این تناقض شاید به عدم تعریف صحیح رابطه مولر دوم و مولر اول در مطالعه Kinzinger بر می‌گردد.

(C) بعد ورتیکال

براساس الگوی حرکت کاسپهای مولر اول در هدگیر سرویکال (اکستروژن در کاسپهای مزیوپالاتال و دیستوباكال) حرکت bodily بیشتر از پندولوم انجام شده است. در پندولوم فقط کاسپهای مزیال اکستروژد شدند که نشانده‌نده حرکت Tipping در استفاده از پندولوم است. در بعد عمودی حضور مولر دوم برای الگوی حرکت مولر اول در ۲ دستگاه پندولوم و هدگیر سرویکال تاثیری نداشت. الگوی حرکت مولر دوم در بعد عمودی در هر دو دستگاه پندولوم و هدگیر سرویکال اکستروژیو بود. این یافته‌ها در توافق با مطالعه بالینی Tulin (۵) بود، به طوری که او گزارش کرد هدگیر سرویکال باعث حرکات اکستروژیو در مولر اول و دوم می‌شود، اما در گروه پندولوم (Pend-x) هیچ حرکت عمودی در مولرهای گزارش نکرد. حتی Byloff و Nanda (۱۰،۱۱)، Darendeliler (۱۲) و Bussik (۱۳)، McNamara (۱۴) و Ghosh (۱۴) نشان دادند که در استفاده از دستگاه پندولوم در طی دیستالیزه شدن مولر، اینتروژن مولرهای رخ می‌دهد. آنها این مسئله را به نیروی زبان یا نیروی ممانعت کننده از rigid bonded appliance دنتوآلولئر توسط پندولوم نسبت دادند.

بعضی از دلائل مداخله‌گر که باعث نتایج متناقض از مطالعات شده است عبارتند از: نیروی زبان، نوع فعال‌سازی loop

3. Melsen B: Effects of cervical anchorage during and after treatment: an implant study. *Am J Orthod* 1978;73: 526–540.
4. O'Reilly MT, Nanda SK, Close J: Cervical and oblique headgear: a comparison of treatment effects. *Am J Orthod Dentofacial Orthop* 1993;103:504–509.
5. Tulin U: A Comparative analysis of maxillary tooth movement produced by cervical headgear and pend – x appliance. *Angle Orthod* 2002;73:686-697.
6. Cook AH, Sellke TA, BeGole EA: Control of the vertical dimension in class II correction using a cervical headgear. *Am J Orthod Dentofacial Orthop* 1994;106:376–388.
7. Graber TM, Vanarsdall RL: *Orthodontics current principles and techniques*. 4th Ed. St Louis – Elsevier 2005; Chap27:880–890.
8. Bondemark I, Kurol J, Bernhold M: Repelling magnets versus superelastic nickel–titanium coils in the simultaneous distal movement of maxillary first and second molars. *Angle Orthod* 1994;64:189–98.
9. Hilgers TJ: The pendulum appliance for Cl II non–compliance. *J Clin Orthod* 1992;26:706–714.
10. Byloff FK, Darendeliler A: Distal molar movement using the pendulum appliance part 1: Clinical and radiological evaluation. *Angle Orthod* 1997;67:249–260.
11. Byloff FK, Darendeliler A: Distal molar movement using the pendulum appliance. Part 2: The effects of maxillary molar root uprighting bends. *Angle Orthod* 1997;67:261–270.
12. Kinzinger GS: Molar distalization with a modified pendulum appliance – in vitro analysis of the force systems and in vitro study of children and adolescents. *Angle Orthod* 2004;75:558–567.
13. Bussick TJ, McNamara JA Jr: Dentoalveolar and skeletal changes associated with the pendulum appliance. *Am J Orthod Dentofacial Orthop* 2000;117:333–43.
14. Ghosh J, Nanda RS: Evaluation of an intra oral maxillary molar distalization technique. *Am J Orthod Dentofacial Orthop* 1996;110:639–649.
15. Kinzinger GS: Efficiency of a pendulum appliance for molar distalization related to second and third molar eruption stage. *Am J Orthod Dentofacial Orthop* 2004;125:8–23.
16. Geramy A: Harmonious translation of the Cres in different tooth movements while the force is remained constant. *J Dent Shiraz Univ Med Sciences* 2002;3:65-65.
17. Geramy A, Faghihi SH: Secondary trauma from occlusion: 3D analysis using finite element method. *Quintessence Int* 2004;35:835–843.
18. Geramy A: Moment / force ratio and the center of rotation alteration, 3D analysis by means of the FEM. *J Dent Shiraz Univ Med Sciences* 2000;26–34.
19. Tanne K, Burstone CJ: 3-dimensional finite element analysis for stress in the periodontal tissue by orthodontic forces. *Am J Orthod* 1987;90:499–505.
20. Geramy A: Alveolar bone resorption and the center of resistance modification: 3D analysis by means of the FEM. *Am J Orthod Dentofacial Orthop* 2000;117:399-405.
21. Geramy A: Initial stress produced in the periodontal Membrane by orthodontic loads in the presence of alveolar bone loss of varying extent three dimensional analysis using FEM method. *Eur J Orthod* 2002;24:21–33.
22. Geramy A: Stress tensor Modification in alveolar bone resorption: 3D analysis using FEM. *J Dent Shiraz Univ Med Sciences* 2003;3:39–49.
23. Geramy A: Cervical Headgear force system: 3D analysis by means of the finite element method. *J Dent Shiraz Univ Med Sciences* 2001;2:21–30.
24. Geramy A: Optimization of unilateral overjet management: 3D analysis using finite element method. *J Angle Orthod* 2002;75:585–592.